

第八篇 电子技术与林业机械常用电器设备

第一章 电子技术基础及其应用

第一节 二极管和整流电路

一、半导体

物体的导电性可分为导体与绝缘体，其导电能力的大小，通常用 $R = \rho \cdot L / S$ 表示。

R —电阻（欧姆）；

S —导线截面积（厘米²）；

ρ —电阻率（欧姆·厘米）；

L —导体长度（厘米）。

金属导体的电阻率很小，约 10^{-6} — 10^{-3} 欧姆·厘米。绝缘体电阻率很大，约 10^8 — 10^{18} 欧姆·厘米以上。还有大量的物体介于 10^{-3} — 10^8 欧姆·厘米范围内，如锗、硅及一些金属氧化物、硫化物等，称为半导体。导体、绝缘体、半导体的导电特性差别很大，其根本原因，在于其原子结构的不同。纯净半导体材料（即本征半导体）硅单晶导电能力很差，但若掺入亿分之一的硼电阻率就会

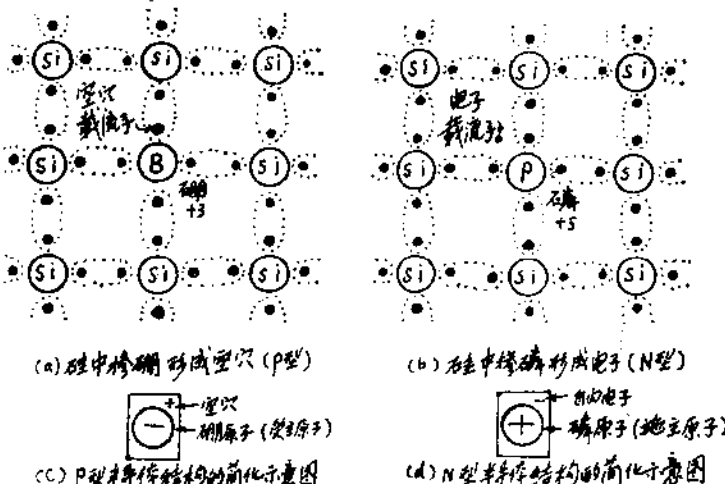


图8-1-1 硅单晶掺杂示意图

下降到原来的千分之一。俗称为掺杂。若硅中掺入五价的磷(P)，则成为N型半导体（电子型），它主要靠电子导电，若掺入微量三价的硼(B)，则成为P型半导体（空穴型），它主要靠空穴导电。其电子、空穴数量还与温度、光照、辐射等因素有关，见图8-1-1和图8-1-2。

通过一定工艺，使一块半导体的一部分成为P型，另一部分成为N型，其P—N

交界处就叫PN结，由于交界处载流子的扩散和飘移运动，当其处于动态平衡时，就形成一个空间电荷区，N边带正电与P边带负电的势垒。空间电荷区载流子极少，也称为耗尽区或阻挡层。若将半导体置于电路中，P区接正电极，N区接负电极，则称为正向偏置或正向接法。这时势垒变窄，电流顺利通过PN结；若反接则势垒变宽，PN结上基本没有电流通过。

PN结的电压—电流方程式为：

$$I = I_s (e^{\frac{qV}{kT}} - 1)$$

式中：I—流过PN结的电流，I为正值时表示从P区流向N区；

V—加于PN结上的电压，正向偏置时V>0，反向偏置时V<0；

I_s —PN结的反向饱和电流；

q—电子电荷量， $q=1.60 \times 10^{-19}$

库伦；

K—玻尔兹曼常数， $K=1.38 \times 10^{-23} \text{ J/K}$ ；

T—PN结的绝对温度。当室温为25°C时， $T=298\text{K}$ 。

因为： $\frac{KT}{q}=0.026\text{V}=26\text{mV}$

所以： $I=I_s (e^{\frac{V}{26}} - 1)$

式中：V以mV为单位。

二、二极管构成

由一个PN结、外壳、引线组合而成。P区引出线叫阳极（正极）。N区引出线叫阴极（负极）。箭头表示电流流通方向，极性若接反可认为电流不通，见图8—1—3。

晶体二级管按用途分，主要有整流、开关、稳压、检波、光电、发光、变容、微波二极管等；按结构分，有点接触型和面接触型两种；按材料分有硅、锗、砷化镓二极管等（图8—1—4图8—1—5）。

点接触型由于触丝很细，PN结接触面很小，容许通过的电流小，但其极间电容也很小（约1PF），工作频率可以很高。它适用于小电流整流和射频（RF）检波，常用的有2AP系列。

面接触型二极管，如图8—1—5，PN结接触面积大，因而容许通过较大电流。但极间电容也较大（约15—20PF），工作频率较低，因此它只适用于整流。常用的有2CP系列，用于较小功率的整流；而2CZ系列，则用于中等或大功率整流。大容量的二极管，一般都带有散热片。

小功率二极管容量为几十毫安，中功率二极管为几百毫

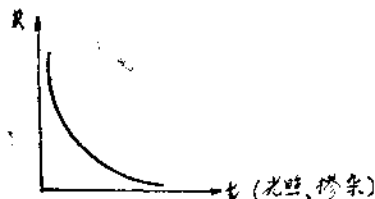


图8—1—2

半导体温升、光照掺杂与R的关系

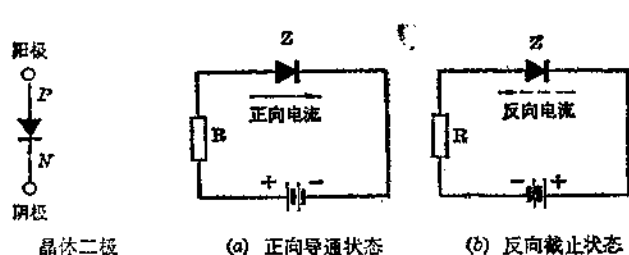


图8—1—3 二极管单向导电性

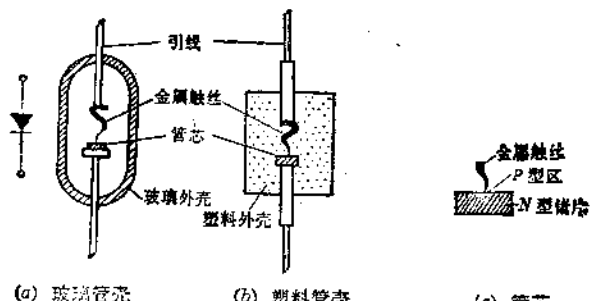


图8—1—4 点接触型晶体二极管结构

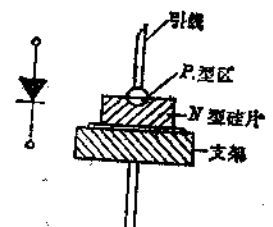


图8—1—5
面接触晶体二极管结构

安，大功率二极管为几安至几百安。

面结型二极管是用硅片制成，即使温度变化大，特性也不恶化，且反向耐压高，整流特性良好，正向压降小，反向电流也很小。

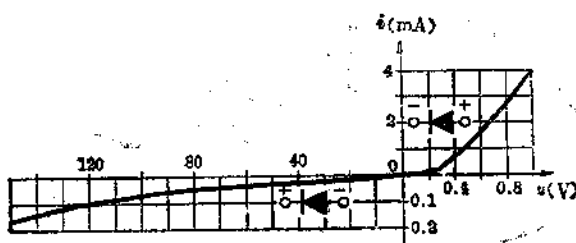


图8—1—6 2AP27型锗二极管伏安特性

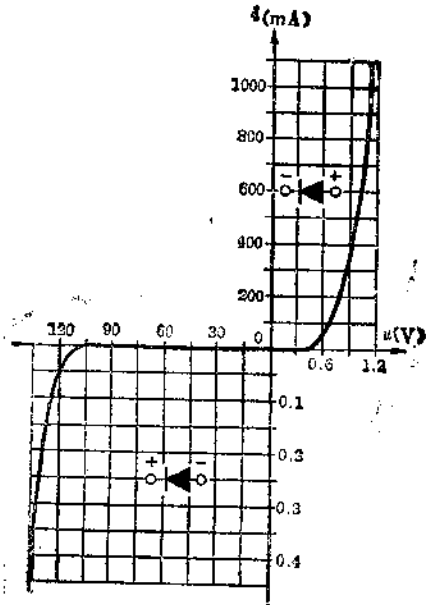


图8—1—7 2CP33A 硅二极管伏安特性

四、二极管的主要参数及术语

1. 最大整流电流 I_{OM} ，使用时不能超过这个最大值，否则将损坏二极管。

2. 反向电流 I_R ，反向电流大，说明单向导电性能差，一般硅管约在 $1\mu A$ 到几十 μA （个别大功率管也有几十毫安的），锗管则可达几百 μA ，在高温下还要大若干倍。通常指最高反向工作电压下的 I_R 。

3. 反向击穿电压 V_B ，一般给出的最高反向工作电压通常是击穿电压的一半，为防止反向击穿而损坏，必须注意这个极限值。

4. 最高反向工作电压 V_R ，二极管反向工作电压最大允许值。

5. 正向压降 V_F ，二极管流过一定直流电时的直流压降。一般锗二极管为 0.3 — 0.5 伏；硅二极管为 0.7 — 1 伏。

6. 最高工作频率 f_{max} ，在规定条件下，二极管能正常工作的最高频率。

五、2CZ系列大功率硅整流元件

2CZ系列硅整流元件外形见图8—1—8。

2CZ系列硅管的分类、分级、分组见图8—1—8及附表一~三。

图8—1—8型号说明如下：

元件的参数见图8—1—8附表，特性曲线参看图8—1—9和图8—1—10。

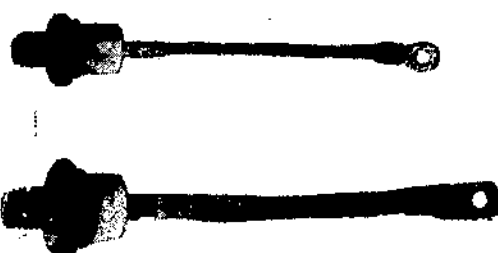


图8—1—8

2CZ系列大功率硅整流元件外形图

附表一 2CZ 系列大功率整流元件的分级

| 级 别 | 0.3 | 0.5 | 1 | 1.5 | 2 | 2.5 |
|---------------------|-----|-----|-----|-----|------|-----|
| 额定反向峰值电压 VRM (伏) | 30 | 50 | 100 | 150 | 200 | 250 |
| 级 别 | 3 | 3.5 | 4 | 4.5 | 5 | 5.5 |
| 额定反向峰值电压 VRM (伏) | 300 | 350 | 400 | 450 | 500 | 550 |
| 级 别 | 6 | 7 | 8 | 9 | 10 | |
| 额定反向峰值电压 VRM | 600 | 700 | 800 | 900 | 1000 | |

附表二 2CZ 硅整流元件的分组

| 系 列 | 正向平均压降 VF (伏) | | | | |
|---------------|---------------|----------|----------|----------|----------|
| | A组 | B组 | C组 | D组 | E组 |
| 2CZ0.5~1 | 0.4~0.55 | | | | |
| 2CZ5~2CZ50 | ≤0.45 | 0.45~0.5 | 0.5~0.55 | 0.55~0.6 | 0.6~0.65 |
| 2CZ100~2CZ200 | ≤0.5 | 0.5~0.55 | 0.55~0.6 | 0.6~0.65 | 0.65~0.7 |

附表三 2CZ 硅整流元件的分类

| 系 列 | 反向平均漏电流 IR | | | (毫安) | |
|-------------|------------|---------|---------|---------|-------|
| | I类 | II类 | III类 | IV类 | V类 |
| 2CZ0.5~1 | 0.005~0.25 | | | | |
| 2CZ5 | ≤0.1 | 0.1~0.4 | 0.4~0.8 | 0.8~1.2 | 1.2~2 |
| 2CZ10 | ≤0.2 | 0.2~0.8 | 0.8~1.6 | 1.6~2.4 | 2.4~4 |
| 2CZ30~2CZ50 | ≤0.5 | 0.5~2 | 2~4 | 4~6 | 6~10 |
| 2CZ100 | ≤0.75 | 0.75~3 | 3~6 | 6~9 | 9~15 |
| 2CZ200 | ≤1 | 1~4 | 4~8 | 8~12 | 12~20 |

2 C Z /

— 表示元件的额定反向峰值电压 (伏)

— 表示元件的额定正向平均电流 (安)

— 表示整流元件

— 表示由N型硅材料制成

— 表示元件有两个电极

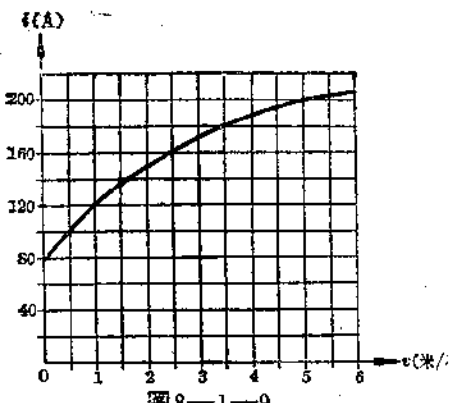


图 8-1-9 2CZ200 风速与额定正向平均电流的关系

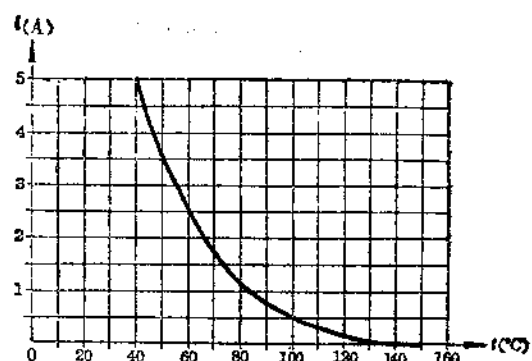


图 8-1-10 2CZ5 环境温度与额定正向平均电流的关系

2CZ 硅整流元件参数说明：

I_F —额定正向平均电流。在规定环境温度和标准散热条件下，允许连续通过的工频正弦半波电流的平均值。

V_{RM} —额定反向峰值电压。它等于反向最高测试电压的一半。反向最高测试电压规定为反向漏电流急速增加，反向特性曲线开始弯曲时的电压。

六、二极管简易测试及使用注意事项

1. 二极管简易测试

二极管一般在管壳上有一“ \rightarrow ”标记，可用万用表电阻档测量二极管正反向电阻来判断。对耐压较低、电流较小的二极管，只能用 $R \times 100$ 或 $R \times 1K$ 档。如用 $R \times 1$ 档，流过管子的电流太大，用 $R \times 100K$ 档，有的万用表内的电池电压太高，易使管子损坏。具体方法和说明见表 8-1-1。

表 8-1-1 晶体二极管的简易测试法

| 项 目 | 正 向 电 阻 | 反 向 电 阻 |
|---------|--|--|
| 测 试 方 法 | | |
| 正 常 阻 值 | 几 百 欧 至 几 千 欧 | 大 于 几 百 千 欧 |
| 测 试 情 况 | 硅管：表针指示位置在中间或中间偏右一点； 储管：表针指示在右端靠近满度的地方（如上图所示） 表明管子正向特性是好的。 如果表针在左端不动，则管子内部已经断路。 | 硅管：表针在左端基本不动，极靠近 8 的位置； 储管：表针从左端起动一点，但不应超过满刻度的 1/4（如上图所示），则表明反向特性是好的。 如果表针指在 0 位，则管子内部已短路。 |
| 极 性 判 别 | 万用表负端（黑表笔）连接二极管的阳极，因为负端与万用表内电池正极相连 | 万用表负端（黑表笔）连接二极管的阴极 |

正反向电阻相差越大越好，如相差不多，说明二极管性能不好或已损坏。

由于晶体管是非线性元件，正反向电阻不是常数，因而同一个管子用R×100和用R×1K挡测出来的电阻数值会有差别。

2、晶体二极管的使用注意事项

(1) 极性必须正确。由于元件生产过程和结构的不同，同类元件外形相同，而极性却可能不同，因此必须以元件管壳上的标记为标准，在标记不明时可用万用表加以判别。

(2) 元件应在正向电流和反向峰值电压允许范围内使用。

(3) 小功率二极管在焊接时，既要保证焊接点可靠，防止虚焊，又要注意不使管子过热而损坏。一般焊点距管壳应不小于10毫米，电烙铁功率一般不大于45瓦，焊接时间一般不超过五秒，而且焊时要用镊子夹住要焊接的引线，以利散热。管子引线弯曲处距管壳一般不小于5毫米，以免引线齐根折断而使管子报废。

七、稳压二极管及其术语

通常我们不希望二极管反向击穿，因为这意味着元件的损坏；但如采取一定措施，可使击穿转变为稳压而不致损坏，利用击穿时管流变化大，而其端电压却很少变化的性质来进行稳压。这个转变的决定条件是半导体内掺杂和外电路的限流措施。

稳压二极管是由硅材料做成的面结型晶体二极管。它与普通二极管的伏安特性的区别，仅在于反向击穿部分非常陡直，工艺上比一般二极管掺杂较多，使它有较大的耗散功率，只要把击穿电流限制在一定范围内，就可在反向击穿区长时间稳定工作，而不会烧坏管子。

主要参数有

1、稳定电压U_w，即反向击穿电压，稳压管的正常工作电压的不变值。对同一型号的稳压管，由于制造上的原因，其稳压值是不一样的，而是某一个范围。

2、稳定电流I_w，管子稳压时工作电流有一定范围，通常稳定工作电流选在

$$I_w = \left(\frac{1}{2} \sim \frac{1}{4}\right) I_{w\ max} \text{ 处。有时资料上不给出 } I_{w\ max} \text{ 值，只给出 } P_M \text{，由此可求出}$$

$$I_{w\ max} = \frac{P_M}{U_w}$$

3、最大耗散功率P_M，管子不会产生热击穿而损坏的最大允许耗散功率。它近似等于稳定电压与最大稳定电流的乘积。

4、动态电阻r，在反向击穿区，稳压管两端电压对电流的变化率，即 $r = \frac{dU}{dI}$ 它是表征稳压管性能好坏的重要参数。r越小，管的稳压性能越好。

5、电压温度系数α_w，稳压管在稳定电流时，温度每升高1°C时U_w增加的百分数。一般U_w低于6伏的稳压管，α_w为负，这是齐纳击穿的特点；U_w高于6伏的稳压管，α_w为正，这里雪崩击穿效应的特点。6伏左右的管子，α_w接近于零，即受温度影响最小。因此，要求较高的场合，一般选用U_w为6伏左右的稳压管。要求更高时，还可选用2DW7标准稳压管，它是由两个相同的稳压管反向串联组成，接入电路时，两管温度系数相反，恰好补偿。

2DW7型标准稳压管，有三个脚，管脚1、2为正负极，其中有红点的脚接电源正端，另一脚接负端；角3是备用脚，通常情况下脚3不用。当脚1或2损坏后，才把它作为单个二极管正极，此时只作一般稳压管使用，不能做标准稳压管，这时脚3接电源负端。2DW8型稳压管管脚1和2可任用一个，接电源正端，脚3接电源负端。

目前国产半导体器件型号通常由四部分组成，如表8—1—2所示

表8—1—2

国产半导体器件型号命名表

| 第一部分 用数字表示 电极的数目 | 第二部分 用汉语拼音字母表示器 件所用的材料和结构 | 第三部分 用汉语拼音字母表示 器件的类型(或功能) | 第四部分 用数字表示同一 类型器件的序列号 |
|---|---|---|---|
| 2—二极管 | 二极管 | P—普通管 | 1, 2, 3, ... |
| 3—三极管 | A—N型锗制成 B—P型锗制成 C—N型硅制成 D—P型硅制成 三极管 A—PNP型锗 B—NPN型锗 C—PNP型硅 D—NPN型硅 | V—微波管 W—稳压管 C—参量管 Z—整流管 L—整流堆 S—隧道管 U—光电管 K—开关管 X—低频小功率管 G—高频小功率管 D—低频大功率管 A—高频大功率管 T—可控整流器 | 11, 12, 13, ... 为了表示同一型号器件某些 参数的差别，可以在型号后面再 附加A、B、C、D、...，以示区 别 |
| *截止频率 ≥ 3 兆赫为高频管 截止频率 <3 兆赫为低频管 耗散功率 ≥ 1 瓦为大功率管 耗散功率 <1 瓦为小功率管 | * | | |

如：2 CZ11A—N型硅材料制成的整流二极管；

3 AX31B—PNP型锗低频小功率三极管；

3 AD 6 A—PNP型锗低频大功率三极管；

3 DG 6 B—NPN型硅高频小功率三极管。

八、晶体二极管的应用

晶体二极管在整流电路中用得最广，各种单相小功率整流电路的电量关系如表8—1—3，各种大功率整流电路的电量关系和可控硅整流电路当控制角 $\alpha=0$ (即全导通)时的电量关系是一样的。由于二极管种类较多，在应用时，首先应根据使用的场合选择合适的管子。

- 1、普通二极管，如2AP₁~2AP₁₀、2CP₁~2CP₂₀等用于高频检波、限幅和小电流整流。
- 2、整流二极管，如2CZ11~2CZ27等，用于不同功率的整流。
- 3、开关二极管，如2AK₁~2AK₄、2CK₁~2CK₁₉等，多用在电子计算机、脉冲控制和开关电路中。

4、稳压二极管，如2CW1~2CW10、2DW1~2DW8等，用在各种稳压电路中。

此外，还应考虑不同材质和结构的管子所具有的特点，合理使用管子。例如，锗管比硅管正向压降小，更适合于检波和限幅；而硅管比锗管“热稳定性”要好，适合用在环境温度变化比较大的场合；在工作频率较高场合，几乎都采用点接触型管子；在电流较大的电路中，大都采用面结型管子。

管子类型确定后，再根据技术要求，选择各种参数都稍有富裕的管子为宜。

表8—1—3

小功率单相整流电路的电量关系

| 电 路 名 称 | | 单 相 半 波 整 流 | 单 相 全 波 整 流 | 单 相 桥 式 整 流 |
|-------------------------------|---------------|---------------------------|---------------------------|---------------------------|
| 输出直流电压 U_z | 电阻或感性负载 | $0.45U_z$ | $0.9U_z$ | $0.9U_z$ |
| | 有电容 空载 | $1.41U_z$ | $1.41U_z$ | $1.41U_z$ |
| | 滤波 负载 | $1.1U_z^*$ | $1.1U_z^*$ | $1.1U_z^*$ |
| 元件所受反向 电压峰值 U_{fm} | 电阻或感性负载 | $3.14U_z$ $(=1.41U_z)$ | $3.14U_z$ $(=2.83U_z)$ | $1.57U_z$ $(=1.41U_z)$ |
| | 有电容 空载 | $2U_z$ | $2U_z$ | $1U_z$ |
| | 滤波 负载 | $2.56U_z^*$ | $2.56U_z^*$ | $1.28U_z^*$ |
| 流过元件的电流平均值 | | $1Iz$ | $0.5Iz$ | $0.5Iz$ |
| 流过元件的 电流最大值 | 电 阻 负 载 | $3.14Iz$ | $1.57Iz$ | $1.57Iz$ |
| | 无 限 大 电 感 负 载 | — | $1Iz$ | $1Iz$ |
| | 电 容 负 载 | 由 电 容 的 大 小 决 定 | | |
| 整流变压器二次 侧电压有效值 U_z | 电 阻 或 感 性 负 载 | $2.22U_z$ | $1.11U_z$ | $1.11U_z$ |
| | 有 电 容 空 载 | $0.707U_z$ | $0.707U_z$ | $0.707U_z$ |
| | 滤 波 负 载 | $0.91U_z^*$ | $0.91U_z^*$ | $0.91U_z^*$ |
| 整流变压器二次 侧电流有效值 I_z | 电 阻 负 载 | $1.57Iz$ | $0.79Iz$ | $1.11Iz$ |
| | 无 限 大 电 感 负 载 | — | $0.707Iz$ | Iz |
| 整流 变 压 器 | 电 阻 负 载 | $3.49U_zIz$ | $1.74U_zIz$ | $1.23U_zIz$ |
| 二次侧容量 P_2 | 无 限 大 电 感 负 载 | — | $1.57U_zIz$ | $1.11U_zIz$ |
| 整流 变 压 器 | 电 阻 负 载 | $2.69U_zIz$ | $1.23U_zIz$ | $1.23U_zIz$ |
| 一次侧容量 P_1 | 无 限 大 电 感 负 载 | — | $1.11U_zIz$ | $1.11U_zIz$ |
| 整流 变 压 器 平 均 计 算 容 量 P_T | 电 阻 负 载 | $3.08U_zIz$ | $1.48U_zIz$ | $1.23U_zIz$ |
| 均 计 算 容 量 P_T | 无 限 大 电 感 负 载 | — | $1.34U_zIz$ | $1.11U_zIz$ |
| 脉 动 系 数 S (电 阻 负 载) | | 1.57 | 0.667 | 0.667 |
| 纹 波 系 数 γ (电 阻 负 载) | | 1.21 | 0.48 | 0.48 |
| 输出 电 压 脉 动 的 最 低 频 率 | | $1f$ | $2f$ | $2f$ |

注: U_z —输出直流电压(即整流电压平均值);

Iz —输出直流电流(即整流电流平均值);

S —脉动系数 = $\frac{\text{交流分量的基波(或最低次谐波)的振幅值}}{\text{直流分量(即平均值)}}$;

γ —纹波系数 = $\frac{\text{交流分量的有效值}}{\text{直流分量(即平均值)}}$;

f —交流电源频率。

*指一般情况下工程估算的参考数据。

5、单相桥式整流电路

图8—1—11是12伏0.5安稳压电源的整流电路，它的主电路，四只整流二极管接成电桥形式，由于这种电路变压器利用率较高，并减小脉动；而整流元件承受反向电压峰值较低，所以

是最常用的一种整流电路。

主电源二极管的选择应考虑反峰电压：

$$U_{fm} = 1.28U_z = 1.28 \times 16.5 = 21.1 \text{ 伏}$$

考虑到容性负载，应有较大的电流裕度，采用2CZ11A，其最大整流电流1安，最高反向工作电压100伏。也可采用2CZ13A，而不用散热片。

辅助电源，由于输出电源较小，变压器利用率不是主要矛盾，为了尽量减少整流元件而输出脉动又较小，因而采用单相全波整流电路。

二极管反向峰值电压：

$$U_{fm} = 2.56 (U_z + I_z R) = 2.56 (30 + 0.03 \times 200) = 92 \text{ 伏}$$

可选用2CP6A，其最大整流电流100毫安，最高反向工作电压100伏，可适应要求。

6、滤波电路

整流后输出的电压不是理想的直流，而是脉动电流，即除了直流外还有交流成分。而许多场合需要平滑的直流，为此可采用滤波电路。滤波电路常用电感、电容组合成不同的形式。利用电容隔直接通交流的作用，使之与负载并联，达到使电流平滑目的，利用电感对交流阻抗大而对直流阻抗小的特点，将它与负载串联来抑制交流分量。常用滤波电路的形式、特点和参数选择见表8—1—4。

表8—1—4 常用小功率滤波电路的比较和参数

| 名称 | 电容滤波 | 倒L型滤波 | 阻容滤波 | π型滤波 |
|------|--|---|--|----------------------------|
| 电路 | | | | |
| 滤波效果 | 较差 | 较好 | 较好 | 好 |
| 输出电压 | 高 | 低 | 较高 | 高 |
| 输出电流 | 较小 | 较大 | 较小 | 较小 |
| 负载特性 | 差 | 较好 | 差 | 差 |
| 参数选择 | 全波整流 $C = \frac{1.44 \times 10^3}{\gamma R_z}$ (微法) 半波整流 $C = \frac{2.88 \times 10^3}{\gamma R_z}$ (微法) | 全波整流 $LC = \frac{1.19}{\gamma}$ C的单位(微法) | 全波整流 $RC^2 = \frac{2.3 \times 10^3}{\gamma R_z}$ C的单位(微法) 其中R一般取数十至数百欧 | 由于体积、重量都较大，所以在晶体管整流电路中较少应用 |

几点说明：

(1) 负载特性表示输出的负载电流变化时，输出电压变化情况。若输出电压变动大，为负载特性差。若系电容滤波，当负载变动很大时，可在输出端并联一个泄放电阻，以改善负载特性。泄放电阻可按近似于 R_fz 来选取。

(2) 参数选择公式仅适用于交流电源频率为50赫的情况，式中 γ 叫输出电压纹波系数。

$$\gamma = \frac{\text{输出电压交流分量有效值}}{\text{输出直流电压(即平均值)}}$$

γ 越小，表示输出电压越接近理想的平滑直流。经过滤波电路后的纹波系数可降低到百分之几到千分之几。 R_{fz} 叫做等效负载电阻，其按下式计算：

$$R_{fz} = \frac{\text{输出直流电压 } U_z \text{ (伏)}}{\text{负载直流电源 } I_z \text{ (安)}} \text{ (欧)}$$

(3) 滤波电容一般选用电解电容，其耐压等级按不小于 $\sqrt{2} U_z$ 伏来选取。

采用电容滤波后，使整流电路的负载不是纯电阻而呈容性，这样不仅能使输出电压平滑，而且输出直流电压比纯电阻时升高很多。但加入电容后，一方面会引起整流元件导电角的减小($<180^\circ$)，在输出同样直流电流时，流过元件的电流峰值就大大增加；另一方面，当电源合闸时还会有较大的初始充电电流通过整流元件。上述各点在实际计算时都须考虑到。为此在要求输出相同的整流电压和电流时，如采用较大的电容滤波，其变压器二次侧电压就比纯电阻负载时要低，另外还必须选用足够电流程度的二极管，必要时加入限流电阻来限制充电电流。

(4) 采用电感滤波时，电感线圈在体积允许条件下，应选用较粗的导线绕制，以免线圈电阻过大。此外，如电感量较大，在电源断开时，电感线圈的两端会产生较大的感应电动势，可能使二极管过压而击穿损坏，故选用二极管电压等效时应留一定裕度。

第二节 晶体三极管放大器和应用

一、晶体三极管特性和参数

(一) 晶体三极管放大与开关作用

一个PN结有单向导电的特性，按照一定工艺制成两个PN结，就成为三极管。它有三个极，其结构和符号见表8—1—5所示。其中e为发射极；c为集电极；b为基极。按结构种类可分为PNP和NPN两种。从结构图中可以看出，发射极与基极之间有一个PN结叫发射结，集电极和基极间另有一个PN结叫集电结。

当发射结上加较小的正向电压(P为正，N为负)，集电结加较大的反向电压(P为负，N为正)，这时晶体管内部电流按一定的规律流动，如图8—1—11所示。

以PNP型管为例，发射极在正向电压作用下，流出的电流，很容易穿过薄薄一层的基极被集电极较大的负电位拉过去，构成集电极电流 I_c ，只有很少一部分(约百分之几)从基极流出，构成基极电流 I_b 。由此可见，很小的基极电流，对应于较大的集电极电流，当 I_b 越大时，按照一定比例 I_c 也越大，就是说在放大区中 I_b 的微小变化会引起 I_c 的较大变化，这就是三极管的放大作用。NPN型管的原理是一样的，只是电压的极性和电流的方向与PNP型管相反。必须注意，传导被放大所增加的功率，并非来自转入端的信号源，而是另有功率源。因此，放大的实质就是用较小的能量，控制较大的能量。

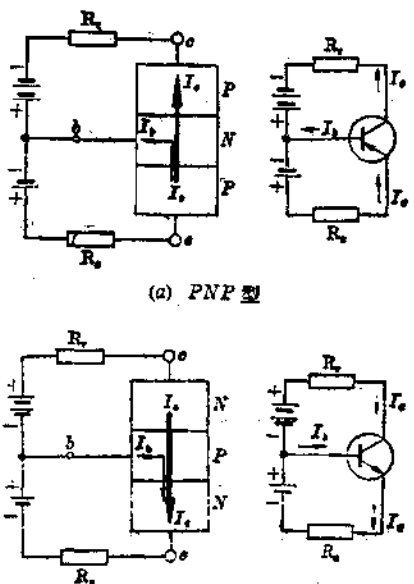
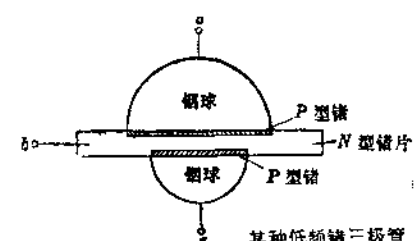
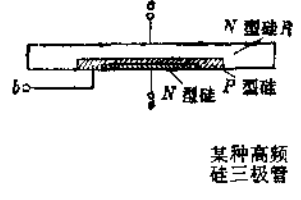
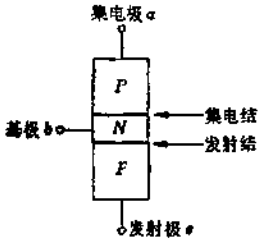
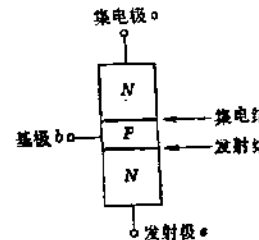
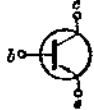


图8—1—11

晶体三极管内电流的分配规律

表8—1—5

晶体三极管的结构和符号

| 型式 | PNP型 | IPN型 |
|-------|---|--|
| 结构示意图 |  某种低频锗三极管 |  某种高频硅三极管 |
| 原理图 |  |  |
| 符号 |  |  |

晶体三极管当基极电流 I_b 在不同数量范围内(也即发射极—基极电压 U_{be} 在不同数量范围内)变化时,晶体管的性能就发生急剧变化。以其发射极电路为例,三极管的工作状态对应于不同的 I_b (或 U_{be})可分为截止、放大、饱和三种状态。其特点和数量关系如表8—1—6。其中放大状态起着放大作用,饱和截止状态便起着开和关的作用。

晶体三极管的上述三种状态可在其共发射极输出特性曲线上表示。所谓共发射极输出特性就是在某一给定基极电流 I_b 下,集电极电流 I_c 和集电极—发射极电压 U_{ce} 的关系如图8—1—12所示。

根据其对应关系,可以把曲线分成截止区、放大区、饱和区。在放大区内, I_b 的变化可引起 I_c 按比例变化的部分,称为放大区的线性部分。而靠近截止区或饱和区的部分, I_c 和 I_b 不是按比例变化,称为放大区的非线性部分。

(二) 晶体三极管三种基本接法

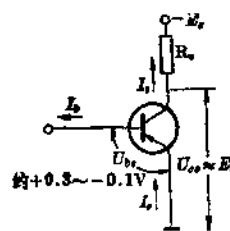
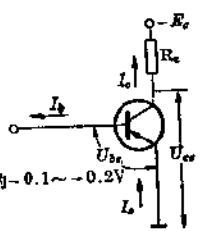
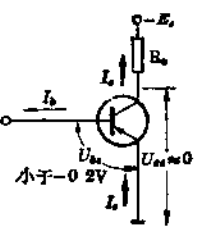
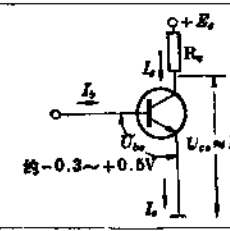
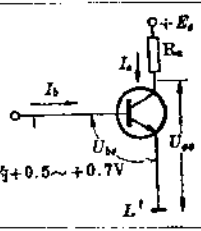
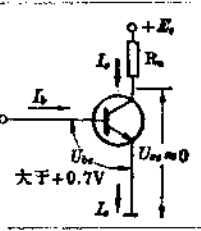
三极管电路根据它的输入信号和输出信号的公共点不同,可分为共发射极、共集电极、共基极三种接法。其中共发射极电路应用最广,其电路和比较如表8—1—7。

(三) 晶体三极管的参数

为了对晶体三极管参数有个数量的概念,将常用的参数名称、符号、意义、一般范围和使用说明列于表8—1—8中。

表8-1-6

晶体三极管三种工作状态和数量关系

| 工作状态 | 截止状态 | 放大状态 | 饱和状态 |
|---------|--|--|--|
| PNP型 |  <p>约+0.3~+0.1V $U_{be} \approx E_c$</p> |  <p>约-0.1~-0.2V U_{ce}</p> |  <p>小于-0.2V $U_{ce} \approx 0$</p> |
| NPN型 |  <p>约-0.3~+0.6V $U_{be} \approx E_c$</p> |  <p>约+0.5~+0.7V U_{ce}</p> |  <p>大于+0.7V $U_{ce} \approx 0$</p> |
| *参数范围 | $I_b \leq 0$ (I_b 为负, 代表其实际方向和图中所示相反, 即与放大和饱和状态时的 I_b 方向相反) | | $I_b > 0$ 其实际方向如图所示 |
| 工作状态的特点 | U_{be} 约从+0.3伏到-0.1伏范围内 (锗管) 约从-0.3伏到+0.5伏范围内 (硅管) | | U_{be} 约从-0.1伏到-0.2伏范围内 (锗管) 约从+0.5伏到+0.7伏范围内 (硅管) |
| | $I_c \leq I_{ceo}$ | | $I_c = \beta I_b + I_{ceo}$ |
| | $U_{ce} \approx E_c$ | | $I_c \approx E_c / R_c$ |
| | 当 $I_b \leq 0$ 时, 集电极电流很小 (小于 I_{ceo}), 晶体管相当于开断 (即截止), 电源电压 E_c 几乎全部加在管子两端 | | I_b 从 0 逐渐增大, 集电极电流 I_c 也按一定比例增加, 微弱的 I_b 的变化能引起 I_c 较大幅度的变化, 晶体管起放大作用 |
| | | | 当 $I_b > E_c / \beta R_c$ 时, 集电极电流 $I_c \approx E_c / R_c$, 并不再随 I_b 的增加而增加 (即晶体管饱和), 管子两端压降很小, 电源电压 E_c 几乎全部加在集电极负载电阻 R_c 两端 |

注: 有*的具体数据为该类型管子的一般范围。

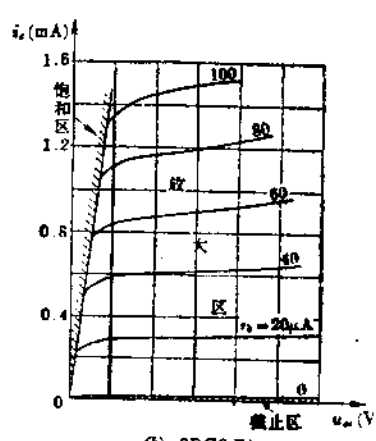
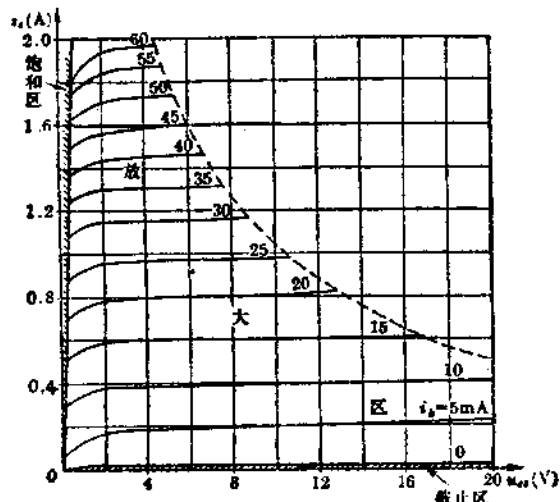


图8-1-12 晶体三极管共发射极输出特性

表8—1—7

晶体三极管电路的三种接法和比较

| 电 路 名 称 | 共发射极 电 路 | 共集电极 电 路 | 共基极 电 路 |
|--------------|----------------|----------------|-----------|
| 电路原理图 (PNP型) | | | |
| 输出与输入电压的相位 | 反 相 | 同 相 | 同 相 |
| 输入阻抗 | 较小 (约几百欧) | 大 (约几百千欧) | 小 (约几十欧) |
| 输出阻抗 (欧) | 较大 (约几十千欧) | 小 (约几十欧) | 大 (约几百千欧) |
| 电流放大倍数 | 大 (几十到两百倍) | 大 (几十到两百倍) | <1 |
| 电压放大倍数 | 大 (几百~千倍) | <1 | 较大 (几百倍) |
| 功率放大倍数 | 大 (几千倍) | 小 (几十倍) | 较大 (几百倍) |
| 频率特性 | 稍不好 | 好 | 好 |
| 稳定性 | 差 | 较好 | 较好 |
| 失真情况 | 较大 | 较小 | 较小 |
| 对电源要求 | 采用偏置电路, 只需一个电源 | 采用偏置电路, 只需一个电源 | 需要两个独立的电源 |
| 应 用 范 围 | 放大电路、开关电路等场合 | 阻抗变换电路等 | 高频放大、振荡等 |

注: NPN型三种接法的电源极性相反

表8—1—8

晶体三极管常用参数的说明

| 参 数 名 称 | 符 号 | 意 义 | 一 般 范 围 (本手册所列部分型号的参数综合) | 说 明 |
|-----------------------------|--------------------------|---|--|--|
| 共基极电流放大系数 | h_{fb} (α) | 在共基极电路中, 集电极电流(即输出电流)和发射极电流(即输入电流)的变化量之比 | 0.9~0.995 | 1. 该两参数一般是在低频1000赫时测量的数据, 所以只能表明管子低频时的放大能力, 当频率超过一定范围, α 、 β 均要下降。因此对高频信号, 管子的放大能力还要看其频率特性($f_{\alpha f} \beta f_T$)是否好 2. β 过高, 虽然放大能力强, 但放大性能往往不稳定, 因此并不是 β 越大越好 3. α 和 β 是从两个方面说明同一个管子的放大性能, 两者必有一定关系, 这就是 $\beta = \frac{\alpha}{1-\alpha} \approx \frac{1}{1-\alpha}$ (因为 $\alpha \approx 1$)或 $\alpha \approx \frac{1}{1+\beta}$ |
| 共发射极电流放大系数 | h_{fe} (β) | 在共发射极电路中, 集电极电流(即输出电流)和基极电流(即输入电流)的变化量之比 | 10~250 | |
| 集电极一基极反向截止电流 简称集电极反向截止电流 | I_{cbo} | 在发射极断开时(即 $I_e=0$), 基极和集电极之间加以规定的反向电压时的集电极电流 | 3 AX: <30 微安, 有的可达150微安 3 AD: <1000 微安 3 AG: <10 微安 硅管是相同功率锗管的 $\frac{1}{100} \sim \frac{1}{1000}$ | 1. 一般是在室温25°C时测量的数据, 随温度上升而急剧增加。锗管每升高12°C约增加一倍, 硅管每升高8°C约增加一倍 计算公式: $I_{cbo} = (I_{cbo})_{25^{\circ}\text{C}} \times 2^{\frac{t-25}{12}}$ (锗管) $I_{cbo} = (I_{cbo})_{25^{\circ}\text{C}} \times 2^{\frac{t-25}{8}}$ (硅管) 2. 该两参数表明管子随温度变化的稳定性, 是衡量晶体三极管质量好坏的重要参数, 其值越小越稳定, 所以硅管比锗管稳定 |
| 集电极一发射极反向截止电流 (穿透电流) | I_{ceo} | 在基极断开时(即 $I_b=0$)集电极和发射极之间加以规定的反向电压时的集电极电流 | 3 AG: <1000 微安 3 AD: $<\text{几毫安到十几毫安}$ 3 AK: <200 微安 硅管是相同功率锗管 $\frac{1}{100} \sim \frac{1}{1000}$ | 3. I_{cbo} 和 I_{ceo} 从两个方面说明同一管子的稳定性, 可以得出两者关系是 $I_{ceo} \approx \beta I_{cbo}$ |

| | | | | |
|-----------------------------|-------------------------|--|--|--|
| 集电极—基极反向击穿电压 | BV_{ce0} | 在发射极断开时，集电结的最大允许反向电压 | $3AX, 3DX, 20\sim100$ 伏 $3AD, 3DD, 40\sim120$ 伏 $3AG, 3AK, 15\sim80$ 伏 $3DG, 3DK, 10\sim60$ 伏 | 1. 该数据一般是在室温25°C时测得，随温度上升反向击穿电压将降低。当晶体管升至最高允许温度，该电压将大约降低一半。 2. 这四个参数表明管子耐压程度，使用时，实际电压不应超过实际温度下的反向击穿电压，否则影响管子性能和寿命甚至使管子损坏。 3. 晶体管作为开关状态时，在发射结上要加反向电压，这时注意不应超过 BV_{ce0} ，特别对3AG型高频小功率管其 BV_{ce0} 很小，3DG、3AK、3DK型的 BV_{ce0} 也都不大。 4. 当基极断开时，由于管子 $BV_{ce0} < BV_{ceR}$ ，即耐压降低，同时管子处于截止状态，两端电压上升（基本上等于电源电压），所以容易击穿。因此断开电源之前不要先断开基极。 |
| 集电极—发射极间并联电阻时的集电极—发射极反向击穿电压 | BV_{ceR} | 在基极—发射极间并联电阻 R_{be} 时，集电极与发射极之间最大允许电压 | $10 \leq R_{be} \leq \infty$ 时， $BV_{ce0} \geq BV_{ceR} \geq BV_{ce0}$ | 一般 I_{eM} 是指当 α 降至原来数值 $2/3$ 或 $1/2$ 时的集电极电流，所以管子实际工作电流并不是绝对不能超过 I_{eM} ，只要 $P_e < P_{eM}$ 即可。不过 I_e 超过 I_{eM} 后，管子放大倍数大大降低了 |
| 集电极最大允许电流 | I_{eM} | 当晶体管参数变化不超过规定允许值时的集电极最大电流 | 锗管：低频小功率 $10\sim500$ 毫安 低频大功率 >1.5 安 硅管：低频小功率 <100 毫安 低频大功率 >300 毫安 | 1. 耗散功率必须小于 P_{eM} ，管子才能正常工作。 2. 该数据一般是在室温25°C时测得，随温度上升将降低。某一温度下允许耗散功率可按下式计算： $P_{eM} = (P_{eM})_{25^\circ C} \frac{T_{1M}-T}{T_{1M}-25}$ (P_{eM}) _{25°C} 是25°C时允许耗散功率， T_{1M} 是最高允许结温度， T 实际室温 |
| 集电极最大允许耗散功率 | P_{eM} | 由于晶体管在电路中要消耗发热使管子参数发生变化，保证参数变化在规定允许范围之内的集电极最大允许消耗的功率 | 小功率管 ≤ 1 瓦 大功率管 ≥ 1 瓦 | 3. 与散热条件有关，加装散热片可大大提高 P_{eM} ，散热片面积越大， P_{eM} 也越大。 4. 管子实际耗散功率按其集电极—发射极直流电压和集电极直流通电流的乘积计算，即 $P_e = U_{ce} \times I_c$ 。当管子工作在开关状态或非甲类放大时，按其集电极平均耗散功率计算。 5. 管子最大允许集电极电流 I_{eM} 和集电极反向击穿电压(BV_{ce0} 或 BV_{ce0})不能同时达到，否则 $I_{eM} \times BV_{ce0}$ 或 $I_{eM} \times BV_{ce0}$ 将大大超过 P_{eM} 而使管子烧坏 |
| 电流放大系数截止频率 | f_α f_β | 当电流放大系数(α 或 β)下降到低频(100赫)值的 $\frac{1}{\sqrt{2}}$ (=0.707)时的频率(f_α 或 f_β) | 低频管 $f_\alpha < 3$ 兆赫 高频率管 $f_\alpha > 3$ 兆赫 | 1. 表示低频管的频率性能 2. $f_B \approx (1-\alpha) f_\alpha$ |
| 特征频率 | f_T | 当 β 下降到1时的频率 | 高频管一般大于10兆赫，高的可达几百兆赫以上 | 1. 表示高频管的频率性能，同样 β 的管子 f_T 越高，高频时管子放大性能越好。 2. 在特征频率时，管子已无放大作用 |

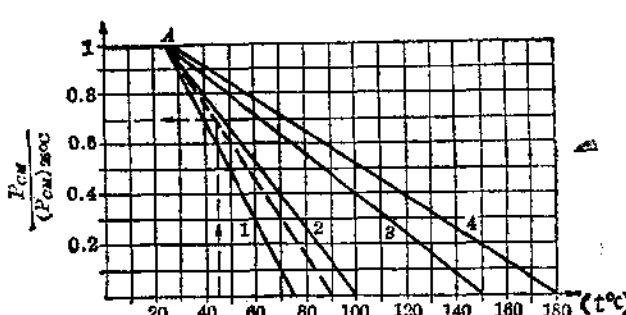
| | | | | |
|--------|----------|------------------------------------|---|---|
| 热阻 | R_T | 管子集电极每耗散瓦(或1毫瓦)功率引起管子PN结温升高的度数 | 小功率管一般小于 $1^{\circ}\text{C}/\text{毫瓦}$ 大功率管一般在 $0.5 \sim 2^{\circ}\text{C}/\text{左右}$ | 1. 表示管子的散热能力, R_T 越小, 越容易散热 2. 增加散热片面积, 就是减小 R_T , 因此可以提高 P_{CM} |
| 最高允许结温 | T_{JM} | 保证晶体管能正常工作(即参数变化不超过规定允许范围)的PN结最高温度 | 锗管 $75 \sim 100^{\circ}\text{C}$ 左右 硅管 $150 \sim 180^{\circ}\text{C}$ 左右 | 1. 说明管子耐高温性能, 如果环境温度接近 T_{JM} , 管子允许耗散功率 P_{CM} 接近于 0, 不能在工作了 2. 硅管比锗管能在较高环境温度下工作 |
| 噪声系数 | N_F | 输出端点总的噪声功率与原输入噪声经管子放大的噪声功率之比 | 结低频小功率管一般为 $15 \sim 33$ 分贝。有一些低噪声管, 如 AX5, 3AX8, 3AX20, 3AX23, 3AX31E, 3AX42D, 3AX42E 等, N_F 在 $6 \sim 12$ 分贝之间 | 1. 说明管子质量好坏的标准之一, $N_F = 1$ 说明输出噪声功率全部是输入噪声放大所致, 管子本身不产生噪声。 N_F 越大, 管子噪声越厉害 2. 多级放大第一级管子噪声系数对整机影响最大, 可考虑采用低噪声管 3. 信号频率过低或过高, 噪声系数均要增加 4. 集电极电流过大, N_F 也会增加 |

表8—1—9

晶体三极管 α 和 β 换算表

| α | 0.8 | 0.9 | 0.95 | 0.96 | 0.97 | 0.975 | 0.98 | 0.985 | 0.99 | 0.992 | 0.993 | 0.995 |
|----------|-----|-----|------|------|------|-------|------|-------|------|-------|-------|-------|
| β | 5 | 10 | 20 | 25 | 33 | 39 | 60 | 66 | 100 | 124 | 142 | 200 |

晶体三极管集电极最大耗散功率和环境温度的关系, 如图8—1—13。

图8—1—13 晶体三极管 P_{CM} 和 t 的关系

图中1~2锗管 T_{JM} 为 $75 \sim 100^{\circ}\text{C}$,
3~4硅管 T_{JM} 为 $150 \sim 180^{\circ}\text{C}$

曲线使用方法: 从资料中查得所用管子的 P_{CM} 和 T_{JM} , 该 P_{CM} 即为 $(P_{CM})_{25^{\circ}\text{C}}$, 如 3AD6A (P_{CM}) $25^{\circ}\text{C} = 10$ 瓦, $T_{JM} = 90^{\circ}\text{C}$, 从图8—1—16中 A 点画一条相应于 $T_{JM} = 90^{\circ}\text{C}$ 的直线 (如图中虚线)。根据实际最高环境温度如 $t = 45^{\circ}\text{C}$, 从曲线查得相应的 $\frac{(P_{CM})_t}{(P_{CM})_{25^{\circ}\text{C}}} = 0.7$ 。就是在说环境温度 45°C 时, 3AD6A 最大耗散功率只能按 0.7×10 瓦 = 7 瓦来考虑。

二、晶体三极管的简易测试

(一) 晶体管性能简易比较

一个晶体管的好坏, 可通过比较其参数来判断, 其中穿透电流 I_{ceo} 和共发射极电流放大系数 β 是两个主要参数, 也是比较同型号管子性能好坏的主要依据。用万用表进行比较的简易方法如表8—1—10。

表8—1—10

晶体三极管的简易比较

| 比较内容 | 方法 | 说明 |
|--------------------|----|--|
| 穿透电流 I_{ceo} | | 用万用表电阻挡 ($R \times 100$ 或 $R \times 1k$) 测集电极—发射极反向电阻，阻值越大，说明 I_{ceo} 越小，晶体管性能越稳定。一般硅管比锗管阻值大，高频管比低频管的阻值大，小功率管比大功率管的阻值大。对低频小功率锗管约在几千欧以上 |
| 共发射极电流放大系数 β | | 如果再在基极—集电极间接 100 千欧电阻，集电极—发射极反向电阻便减少，万用表指针偏转，偏转角度越大，说明 β 越大 |
| 晶体管稳定性 | | 在判断 I_{ceo} 同时，用手捏住管子，受人体体温影响，管子集电极—发射极反向电阻将有所减小，但如果发现指针摆动较大或阻值迅速减少，则管子稳定性较差 |

注：IPN管子将万用表测试棒对调即可

(二) 晶体三极管管脚、管型和高低频管的判断

对管子的型号、管脚、高低频管的判断，一般情况下可根据型号查资料。但由于生产工艺的不同，即使同一型号的管子，其管脚也可能不同。必要时可按表8—1—11分两步判断管脚和管型。

(三) I_{ceo} 和 β 值的近似测量

按图8—1—14接线，按扭AN被按下之前， $I_{b0} \approx 0$ ，电流表读数即近似为 I_{ceo} ；按下按扭AN，

$$I_{b1} \approx \frac{E_c}{R_b} = \frac{b}{200} = 30\mu A, \text{ 经过晶体管放大, } I_{ceo} \text{ 增加至 } I_{c1}, \text{ 则:}$$

$$\beta = \frac{I_{c1} - I_{ceo}}{I_{b1} - I_{b0}} = \frac{I_{c1} - I_{ceo}}{30}$$

如某管测得 $I_{c1} = 1.5mA$ ，则可得 $\beta = \frac{1500 - 20}{30} \approx 50$ 。

测量前必须注意：先用万用表测试管子是否良好，如果管子本来已经损坏而再测试 β ，就有可能使电流表损坏。

三、晶体管低频放大器

(一) 晶体管放大器的工作点和偏置电路

工作点是指无输入信号时晶体管的工作状态。选择工作点一般就是选定晶体管在无输入信号时的集电极电流 I_c 和极电极—发射极电压 U_{ces} 。工作点的选定是晶体管正常工作的基础。当电

源电压 E_c 和集电极负载电阻 R_c 一定时，工作点取决于基极电流 I_b ，这个电流就是所谓偏流。调节偏流就可改变工作点。建立偏流的电路叫偏置电路。

表8—1—11

晶体三极管脚和管型的判断

| 判断内容 | 方法 | 说明 |
|---|----|--|
| PNP 型 晶 体 管 第一步： 判 断 基 极 | | 可以把晶体三极管看成两个二极管分来析。用万用表电阻挡（R×100或R×1k），将正测试棒（红色）接某一管脚，负测试棒（黑色）分别接另二管脚，测量两个阻值。当两个阻值均较小时，红棒所接管脚即为PNP管基极。若两阻值有的较大，可将红棒另接一管脚再试，直到两个阻值均较小为止 |
| NPN 型 晶 体 管 | | 方法同上，但以黑棒为准，红棒分别接另二管脚，测得两阻值均较小，即为NPN管的基极 |
| 第二步： 判断集电极 | | 再利用晶体管正向电流放大系数比反向电流放大系数大的原理确定集电极。将万用表两个测试棒接到管子的另外两个脚，用嘴含住基极，利用人体电阻实现偏置，测读万用表指针的偏转角（或阻值），再将两个测试棒对调同样测读，比较二次读数，对PNP管，偏转角大（阻值小）的一次中红棒所接的即为集电极；对NPN管，偏转角大（阻值小）的一次中黑棒所接的即为集电极 |

注：正向电流放大系数是指管子处于正常的放大状态，如PNP管，集电极C接电源负端，发射极e接电源正端时的放大系数。当电源接反，即为反向电流放大系数。

表8—1—12

高频三极管和低频三极管的简易判断

| 判断内容 | 内 容 | 说 明 |
|------------------------------|-------------------|---|
| 测量发射极—基极反向击穿电压 BV_{eb0} | | 因为高频管 BV_{eb0} 较低（均小于10伏），而低频管 BV_{eb0} 较高，大于10伏。如图测得 U_{eb} 大于10伏，则为低频管；若10伏以下，则可能为高频管，再用下面方法进一步确定 |
| 比较正反向电流放大系数 | 同表8—1—11 判断集电极的方法 | 低频管的反向电流放大系数比正向电流放大系数小得不十分多，因此在测反向电流放大系数时，若万用表指针仍能看出偏转即为低频管。而高频管的反向电流放大系数比正向电流放大系数小很多，因此在测反向电流放大系数时，若万用表指针基本上不偏转即为高频管 |